

文章编号:2095-1116(2014)02-0116-04

· 基础医学 ·

# 姜黄素对鼻咽癌细胞 RECK 基因甲基化以及 MMP-9 表达与活性的影响

王柏琦<sup>1,2</sup>,陈艳华<sup>1</sup>,蒋丽琴<sup>1</sup>,程爱兰<sup>2</sup>

(1. 南华大学附属第二医院肿瘤内科,湖南 衡阳 421001;2. 南华大学肿瘤研究所)

**摘要:** 目的 探讨姜黄素对鼻咽癌细胞回复引导半胱氨酸丰富蛋白含 kazal 基元(RECK)基因甲基化以及基质金属蛋白酶9(MMP-9)表达的影响。方法 体外培养鼻咽癌细胞系CNE-1,用1、10、30 μmol/L姜黄素处理后,采用Western blot和实时定量PCR分别检测RECK、MMP-9蛋白和mRNA表达;高效液相色谱-电喷雾质谱检测RECK甲基化;MTT法检测CNE-1细胞的增殖。同时采用明胶酶谱实验观察姜黄素处理前后MMP-9酶活性变化。结果 CNE-1细胞未刺激时RECK表达水平较低,而经1~30 μmol/L姜黄素处理后,能显著增强RECK蛋白和mRNA的表达。高效液相色谱-电喷雾质谱结果显示,30 μmol/L姜黄素处理后,RECK启动子、全基因组以及细胞核内甲基化水平分别降低为(69.04±10.62)%、(61.13±7.08)%、2.80±1.32。同时,姜黄素能显著降低CNE-1细胞中MMP-9蛋白和mRNA表达以及MMP-9的酶活性。**结论** 姜黄素可能通过能上调RECK基因表达,降低细胞内甲基化水平,从而抑制MMP-9的表达与活性而发挥对CNE-1细胞生长抑制作用。

**关键词:** 鼻咽癌; 回复引导半胱氨酸丰富蛋白含 kazal 基元; 甲基化; 姜黄素**中图分类号:**R739.62   **文献标识码:**A

## Effect of Curcumin on RECK Methylation and MMP-9 Expression and Activity in Nasopharyngeal Carcinoma Cells

WANG Baiqi, CHEN Yanhua, JIANG Liqin, et al

(Department of Oncology, the Second Affiliated Hospital, University of South China, Hengyang, Hunan 421001, China)

**Abstract:** **Objective** To investigate the effect of curcumin on reversion-inducing-cysteine-rich protein with kazal motifs (RECK) gene methylation, and expression of matrix metalloproteinase-9 (MMP-9) in nasopharyngeal carcinoma cells. **Methods** Nasopharyngeal carcinoma cell line CNE-1 was cultured in vitro, and stimulated by 1, 10 and 30 μmol/L curcumin for 48h, expression of RECK and MMP-9 were detected by Western blot and real-time PCR, respectively. RECK methylation was determined by HPLC chromatographic and mass spectrometric methods. Cell proliferation was assessed by MTT assay. Expression and the enzymic activity of MMP-9 were detected by Western blot and Gelatin zymography assay, respectively. **Results** The expression level of RECK was very low in unstimulated cells, and 1~30 μmol/L could decrease the protein and mRNA level. HPLC chromatographic and mass spectrometric analysis demonstrated that 30 μmol/L could decrease level of the promoter methylation, global DNA methylation and the methylation activity of the nuclear extract to (69.04% ± 10.62)%、(61.13 ± 7.08)%、2.80 ± 1.32, respectively, as compared to untreated cells. In addition, curcumin could also decrease the protein and mRNA level of MMP-9, and enzymic activity. **Conclusion** Curcumin increase RECK gene expression and down-regulate its methylation, and then attenuate MMP-9 to inhibit CNE-1 cells growth.

**Key words:** nasopharyngeal carcinoma; reversion-inducing-cysteine-rich protein with kazal motifs; methylation

收稿日期:2013-11-17

基金项目:国家自然科学基金(81372894)。

作者简介:王柏琦,硕士,主治医师,研究方向:鼻咽癌的发病机制与防治,E-mail:wangbaiqi99@126.com. 通讯作者程爱兰,博士,教授,研究方向:鼻咽癌的发病机制与防治,E-mail:ailan\_cheng@hotmail.com.

鼻咽癌(Nasopharyngeal carcinoma)是我国南方地区最常见的恶性肿瘤之一,EB 病毒感染、遗传因素、营养状况、年龄等均与本病的发生存在一定关联<sup>[1]</sup>,但其发病机制目前仍不明了。近年来,DNA 甲基化等表观遗传学的改变在肿瘤中的作用日益受到重视<sup>[2]</sup>。生理条件下,DNA 甲基化是维持 DNA 稳定性以及 DNA 与蛋白质相互作用所必须<sup>[3]</sup>。然而 DNA 异常甲基化也可导致多种癌基因的激活和(或)抑癌基因的失活。其中最常见的抑癌基因包括回复引导半胱氨酸丰富蛋白含 kazal 基元(Reversion-inducing-cysteine-rich protein with kazal motifs,RECK)、Ras 相关区域家族 1A(Ras association domain family 1A,RASSF1A)等,这些抑癌基因的失活与鼻咽癌的发生密切相关<sup>[4]</sup>。近年来研究显示,RECK 蛋白可抑制机体基质金属蛋白酶(matrix metalloproteinases,MMP)的水解从而抑制肿瘤细胞血管发生与转移<sup>[4]</sup>。

姜黄素是一种二酮类化合物,目前已经研究显示姜黄素对多种肿瘤细胞具有抑制作用<sup>[5]</sup>。但迄今为止,姜黄素能否影响鼻咽癌细胞中 RECK 基因的甲基化,目前仍不清楚。本研究拟从姜黄素入手,观察食源性物质能否影响鼻咽癌 CNE-1 细胞系中 RECK 基因的表达和甲基化,并观察其是否能影响 MMP-9 的活性而发挥抗肿瘤作用。

## 1 材料与方法

### 1.1 材料

姜黄素(纯度 98%)为 sigma 产品。DNA 提取试剂盒购自 Qiagen,核蛋白提取试剂盒购自 Pierce。抗 MMP-9 多克隆抗体购自 Santa Cruz,HPR 标记羊抗鼠 IgG 抗体购自北京中杉金桥生物有限公司。EpiQuik DNMT 活性检测试剂盒购自 Epigentek 公司。其他分析纯产品主要购自上海生工生物工程公司。

### 1.2 细胞培养与 MTT 实验

CNE-1 鼻咽癌细胞系购于 ATCC,用含有 10% FBS 和 1% 青霉素、链霉素的 RPMI-1640 培养基培养基中,于 37 ℃、5% CO<sub>2</sub> 培养箱中培养 24 h。MTT 法检测细胞的增殖活性。即 100 μL 细胞(约 3 × 10<sup>3</sup>)接种于 96 孔板中培养过夜,每组设 3 复孔。第二天换成含 5% 胎牛血清和 1% 青霉素、链霉素的 RPMI-1640 培养基,并加入不同浓度的姜黄素,继续培养 72 h。结束前 4 h 各孔加入 MTT 溶液 20 μL

(5 mg/mL),随后弃上清,并加入 200 μL DMSO,充分混匀,用酶标仪测定各孔的吸光度值(OD<sub>570</sub>),并计算抑制率。抑制率 = (对照组 OD 值 - 实验室 OD 值)/对照组 OD 值 × 100%。

### 1.3 Western blot 与甲基化活性分析

细胞处理完毕后,800 rpm 离心 5 min,弃上清,冰冷的 PBS 洗涤细胞两次。加入 200 μL 细胞裂解缓冲液重悬浮细胞(裂解液含蛋白酶抑制剂 cocktail Set III,1 mM β-甘油磷酸酯、1 mmol/L 钙酸钠、1 mmol/L 氯化钠,1 mmol/L 苯甲磺酰基氯化物,20 mmol/L pH 7.0 HEPES,150 mmol/L NaCl,0.1% NP-40),冰上裂解 40 min。1 000 rpm 离心 15 min 后,获取上清。经 5% ~ 15% SDS-PAGE 后,Western blot 检测 RECK 或 MMP-9 的表达。同时采用 EpiQuik™ DNMT 试剂盒检测 CNE-1 细胞核蛋白中的甲基化活性。

### 1.4 DNA 提取和水解

获取 1 × 10<sup>7</sup> 个姜黄素处理后的 CNE-1 细胞,按照 Qiagen 提供的试剂盒操作步骤提取基因组 DNA 用于全细胞甲基化分析。DNA 根据参考文献提供的方法进行<sup>[6]</sup>,即 200 ng 基因组 DNA 于 100 ℃、3 min 热处理变性,置于冰上冷却后加入 1/10 体积的醋酸铵(0.1 mol/L,pH 5.3)和 2 U 的核酸酶 P1(Sigma),45 ℃ 孵育 2 h 后加入 1/10 体积的 NH<sub>4</sub>HCO<sub>3</sub>(浓度 1 mol/L)和 0.002 U 的毒液磷酸二酯酶 I,37 ℃ 孵育 1 h。随后加入 0.5 U 碱性磷酸酶,37 ℃ 培养 1 h。

### 1.5 高效液相色谱-电喷雾质谱检测 DNA 甲基化

液相色谱包括 HPLC 系统(Agilent 1100 型),色谱柱(Atlantis dC18 柱,Waters),预柱(Waters)。流动相为 0.1% 甲酸-甲醇,流速为 0.2 mL/min。电喷雾离子模式为正离子,扫描范围为 m/z 100 ~ 2 000,离子源温度 450 ℃,喷雾电压为 415 kV,破簇电压为 55 V,入口电压 6 V。碰撞能电压 13 V,气帘气为 138 kPa,气体 1 为 221 kPa,气体 2 为 379 kPa,碰撞气体为 41 kPa<sup>[6]</sup>。采用 Sciex Analyst software 软件(版本 1.3.1)处理数据。

### 1.6 Real-Time PCR 分析

采用定量 RT-PCR 检测 RECK 和 MMP-9 的表达。细胞处理完毕,用 Trizol 试剂提取总 RNA,取 2 μg RNA 用于 MMP-9 mRNA 分析。反应条件:50 ℃ 2 min,95 ℃ 3 min,然后 95 ℃ 15 s,60 ℃ 30 s,72 ℃ 30 s,共 40 个循环。反应在 ABI prism 7700 上进行。所得的数据与内参 β-actin 之比作为

相对值。

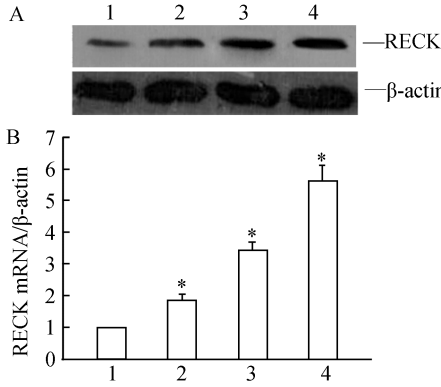
### 1.7 明胶酶谱实验

姜黄素处理细胞后,获取25 μL培养上清用于聚丙烯酰胺凝胶电泳(含2 mg/mL明胶A和明胶B)。电泳结束后,卸下凝胶并将其置于Triton X-100(2.5%)的洗涤液中震荡洗涤以去除SDS。随后将凝胶放入100 mL孵育液中(100 mmol/L Tris, 10 mmol/L CaCl<sub>2</sub>),37 °C中孵育24 h,经0.5%考马斯亮蓝染色并脱色后,用凝胶成像系统拍照。

## 2 结 果

### 2.1 姜黄素增加CNE-1细胞RECK mRNA和蛋白表达

如图1所示,CNE-1细胞基础状态下RECK蛋白表达水平较低,而经10 μmol/L和30 μmol/L姜黄素处理后,细胞内RECK蛋白的表达显著增高(图1A)。与Western blot结果类似,real-time PCR结果显示,不同浓度的姜黄素也能增强其mRNA的表达,其趋势与蛋白表达一致(图1B)。



**图1 姜黄素增加CNE-1细胞RECK蛋白和mRNA表达**  
A: Western blot 检测 RECK 蛋白表达; B: Real time PCR 检测 RECK mRNA 表达。1: 对照组; 2: 1 μmol/L 姜黄素; 3: 10 μmol/L 姜黄素; 4: 30 μmol/L 姜黄素。与对照组比较, \* : P < 0.05

### 2.2 姜黄素能降低RECK启动子区域以及全基因组以及细胞核DNA甲基化

高效液相色谱-电喷雾质谱结果显示,30 μmol/L姜黄素处理CNE-1细胞后,与对照组相比,RECK启动子甲基化水平降低为(69.04 ± 10.62)% ,全基因组甲基化水平降低为(61.13 ± 7.08)% ,CNE-1细胞核的甲基化活性降为2.8 ± 1.31,见表1。

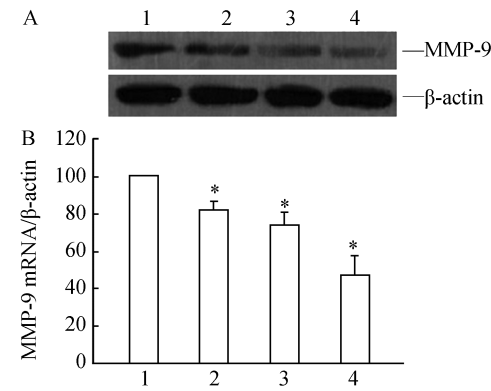
**表1 姜黄素对RECK启动子区域、全基因组以及细胞核DNA甲基化的影响**

组别	启动子区甲基化(%)	全基因组甲基化(%)	细胞核甲基化(相对含量)
对照组	100	100	8.46 ± 1.08
姜黄素不同浓度组			
1 μmol/L	87.14 ± 6.31 <sup>a</sup>	86.81 ± 10.41 <sup>a</sup>	6.06 ± 1.36 <sup>a</sup>
10 μmol/L	77.56 ± 5.47 <sup>a</sup>	71.38 ± 4.22 <sup>a</sup>	3.20 ± 1.24 <sup>b</sup>
30 μmol/L	69.04 ± 10.62 <sup>b</sup>	61.13 ± 7.08 <sup>b</sup>	2.80 ± 1.32 <sup>b</sup>

与对照组比较,a:P < 0.05,b:P < 0.01

### 2.3 姜黄素能下调CNE-1细胞MMP-9的表达水平

Western blot结果显示,CNE-1细胞MMP-9表达水平较高,1、10、30 μmol/L姜黄素处理细胞后,MMP-9蛋白水平显著降低(图2A)。Real-time PCR结果显示也显示其mRNA也随着姜黄素浓度的增高而逐渐降低(图2B)。



**图2 姜黄素抑制CNE-1细胞MMP-9蛋白和mRNA表达**  
A: Western blot 检测 MMP-9 蛋白表达; B: Real time PCR 检测 MMP-9 mRNA 表达。1: 对照组; 2: 1 μmol/L 姜黄素; 3: 10 μmol/L 姜黄素; 4: 30 μmol/L 姜黄素。与对照组比较, \* : P < 0.05

### 2.4 姜黄素对鼻咽癌细胞增殖及MMP-9酶活性的影响

CNE-1细胞在浓度为10、30 μmol/L姜黄素作用下的存活率分别为44%和23%。此外,明胶酶谱实验显示,姜黄素也能显著抑制其酶活性,随着姜黄素浓度的增高,酶活性逐渐降低(图3)。

## 3 讨 论

肿瘤从原发部位脱落并引起细胞外基质降解,是转移发生的关键步骤。在此过程中,MMPs发挥至关重要作用,其中以MMP-9最为重要<sup>[4,7]</sup>。RECK是调控MMP-9蛋白表达与活性的重要分子<sup>[8]</sup>。正常情况

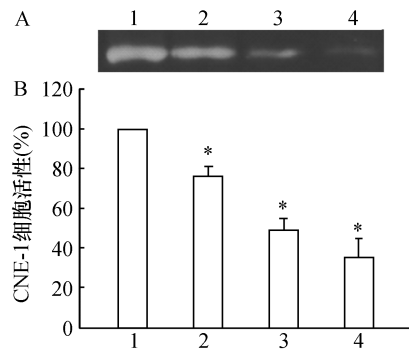


图 3 姜黄素对鼻咽癌细胞增殖及 MMP-9 酶活性的影响

A: 明胶酶谱实验检测 MMP-9 酶活性; B: MTT 检测 CNE-1 细胞增殖。1: 对照组; 2: 1  $\mu\text{mol/L}$  姜黄素; 3: 10  $\mu\text{mol/L}$  姜黄素; 4: 30  $\mu\text{mol/L}$  姜黄素。与对照组比较, \* :  $P < 0.05$

下,RECK 基因广泛存在于机体各种组织细胞中,调控细胞的生长增殖等功能。但在各种恶性肿瘤细胞中,RECK 蛋白往往呈低表达,且其基因中存在异常的甲基化,从而导致其功能减弱或消失,最终无法发挥对 MMP-9 的负调控作用而参与肿瘤的发生<sup>[9-10]</sup>。本研究证实,CNE-1 细胞内 RECK 的 mRNA 和蛋白水平较低。经 1~30  $\mu\text{mol/L}$  姜黄素处理后,RECK 基因 mRNA 和蛋白水平随姜黄素浓度的升高而增加。这表明姜黄素能有效上调鼻咽癌细胞中因甲基化而失活的 RECK 基因的表达。此外,CNE-1 细胞中启动子、全基因组以及细胞核中甲基化 RECK 含量较高,而姜黄素处理后,甲基化水平显著降低。由于 RECK 基因甲基化后导致其对 MMP-9 的负调控功能减弱或消失,从而有利于肿瘤细胞从原发部位脱落并转移。姜黄素通过抑制其启动子区域甲基化,从而诱导 RECK 基因表达而重新获得对 MMP-9 的调控作用,这可能是其抗癌活性的一种新的分子机制<sup>[11]</sup>。

Western blot 结果也证实,姜黄素能抑制 CNE-1 细胞中 MMP-9 的表达,并在一定程度上降低其酶活性。鉴于 MMP-9 基因上游存在 RECK 的调控位点,因此姜黄素对 MMP-9 的抑制可能与上调 RECK 基因的表达有关。由于 MMP-9 是肿瘤细胞降解细胞外基质的重要分子,其表达水平和酶活性受到抑制后,无疑能降低肿瘤细胞从原发部位脱落和发生远处转移的能力<sup>[12]</sup>。

有研究显示,使用姜黄素处理鼻咽癌细胞后,能导致 E-钙粘蛋白表达增高以及促进癌细胞凋亡,这与 DNA 甲基化酶抑制剂相似<sup>[13-14]</sup>。也有研究显示某些因超甲基化而沉默的抑癌基因,如 GSTP1 和 MGMT,也能被姜黄素等去甲基化药物诱导而重新

激活<sup>[15]</sup>,这也从侧面证明了姜黄素对 DNA 甲基化具有抑制作用,并能重新激活失活的抑癌基因。目前,DNA 去甲基化药物(如氮胞苷类药物)已经在临幊上用于各种血液系统疾病的治疗并取得了一定的疗效<sup>[16-17]</sup>。由于姜黄素对 DNA 甲基化具有一定的抑制作用,因此有望为鼻咽癌的治疗提供一种新的辅助手段。姜黄素来源于天然植物,其毒性低<sup>[18]</sup>。此外,对于此氮胞苷类药物治疗无效的细胞,如干细胞,姜黄素可能具有更加广泛的应用价值。

### 参考文献:

- [1] Han BL, Xu XY, Zhang CZ, et al. Systematic review on Epstein-Barr virus (EBV) DNA in diagnosis of nasopharyngeal carcinoma in Asian populations [J]. Asian Pac J Cancer Prev, 2012, 13(6): 2577-2581.
- [2] Hutajulu SH, Indrasari SR, Indrawati LP, et al. Epigenetic markers for early detection of nasopharyngeal carcinoma in a high risk population [J]. Mol Cancer, 2011, 10: 48.
- [3] Fendri A, Khabir A, Hadri-Guiga B, et al. Epigenetic alteration of the Wnt inhibitory factor-1 promoter is common and occurs in advanced stage of Tunisian nasopharyngeal carcinoma [J]. Cancer Invest, 2010, 28(9): 896-903.
- [4] Liu S, Ren S, Howell P, et al. Identification of novel epigenetically modified genes in human melanoma via promoter methylation gene profiling [J]. Pigment Cell Melanoma Res, 2008, 21(5): 545-558.
- [5] Pan Y, Wang M, Bu X, et al. Curcumin analogue T83 exhibits potent antitumor activity and induces radiosensitivity through inactivation of Jab1 in nasopharyngeal carcinoma [J]. BMC Cancer, 2013, 13: 323.
- [6] Liu Z, Liu S, Xie Z, et al. Characterization of in vitro and in vivo hypomethylating effects of decitabine in acute myeloid leukemia by a rapid, specific and sensitive LC-MS/MS method [J]. Nucleic Acids Res, 2007, 35(5): e31.
- [7] Morrison C, Mancini S, Cipollone J, et al. Microarray and proteomic analysis of breast cancer cell and osteoblast co-cultures; role of osteoblast matrix metalloproteinase (MMP)-13 in bone metastasis [J]. J Biol Chem, 2011, 286(39): 34271-34285.
- [8] Takahashi C, Sheng Z, Horan TP, et al. Regulation of matrix metalloproteinase-9 and inhibition of tumor invasion by the membrane-anchored glycoprotein RECK [J]. Proc Natl Acad Sci U S A, 1998, 95(22): 13221-13226.
- [9] Noda M, Takahashi C, Matsuzaki T, et al. What we learn from transformation suppressor genes: lessons from RECK [J]. Future Oncol, 2010, 6(7): 1105-1116.

(下转第 138 页)

- [10] Hong KJ, Wu DC, Cheng KH, et al. RECK inhibits stemness gene expression and tumorigenicity of gastric cancer cells by suppressing ADAM-mediated Notch1 activation [J]. *J Cell Physiol*, 2014, 229(2): 191-201.
- [11] Jacomasso T, Trombetta-Lima M, Sogayar MC, et al. Downregulation of reversion-inducing cysteine-rich protein with Kazal motifs in malignant melanoma: inverse correlation with membrane-type 1-matrix metalloproteinase and tissue inhibitor of metalloproteinase 2 [J]. *Melanoma Res*, 2014, 24(1): 32-39.
- [12] Siddesha JM, Valente AJ, Yoshida T, et al. Docosahexaenoic acid reverses angiotensin II-induced RECK suppression and cardiac fibroblast migration [J]. *Cell Signal*, 2014, 26(5): 933-941.
- [13] 韦强, 韦敏怡, 梁秀就, 等. 上皮钙黏素/链接素黏附复合体在鼻咽癌组织中的表达及意义 [J]. 基础医学与临床, 2007, 27(7): 789-792.
- [14] Zhang CY, Zhang L, Yu HX, et al. Curcumin inhibits the metastasis of K1 papillary thyroid cancer cells via modulating E-cadherin and matrix metalloproteinase-9 expression [J]. *Biotechnol Lett*, 2013, 35(7): 995-1000.
- [15] Niture SK, Velu CS, Smith QR, et al. Increased expression of the MGMT repair protein mediated by cysteine prodrugs and chemopreventative natural products in human lymphocytes and tumor cell lines [J]. *Carcinogenesis*, 2007, 28(2): 378-389.
- [16] Thomas X. DNA methyltransferase inhibitors in acute myeloid leukemia: discovery, design and first therapeutic experiences [J]. *Expert Opin Drug Discov*, 2012, 7(11): 1039-1051.
- [17] Si J, Boumber YA, Shu J, et al. Chromatin remodeling is required for gene reactivation after decitabine-mediated DNA hypomethylation [J]. *Cancer Res*, 2010, 70(17): 6968-6977.
- [18] 彭湘玲, 李庆军, 张林. 姜黄素对阿霉素肾病大鼠 NADPH 氧化酶和 nephrin 表达的影响 [J]. 中南医学科学杂志, 2013, 41(5): 460-464.

(此文编辑:蒋湘莲)